

# Числа Бернулли-Эйлера и мультикраевые особенности серии $B_n^l$ <sup>\*</sup>

Олег Карпенков<sup>†</sup>

4 марта 2009 г.

## Аннотация

В этой работе изучаются свойства чисел  $K_n^l$  компонент связности бифуркационных диаграмм мультикраевых особенностей  $B_n^l$ . Доказывается рекуррентное соотношение на числа  $K_n^l$ . Как ранее было известно,  $K_n^1$  является  $n+1$ -ым числом Бернулли-Эйлера, это доставляет необходимое граничное условие для вычисления чисел  $K_n^l$ . Мы также находим производящие функции для чисел  $K_n^l$  с небольшим фиксированным параметром  $l$  и выписываем уравнения в частных производных для общего случая.

## 1 Введение.

Числа Бернулли-Эйлера, которые часто обозначаются через  $K_n$ , наряду с числами Фибоначи и числами сочетаний, встречаются в различных частях математики. В математическом анализе эти числа можно встретить, как разложения функции  $\sec + \tg$  в ряд Тейлора, а именно:

$$\sec t + \tg t = \sum_{n=0}^{\infty} K_n \frac{t^n}{n!}.$$

По аналогии с числами Каталана числа Бернулли-Эйлера строятся при помощи некоторого “магического” треугольника. Правила построения такого треугольника описаны, например, в [1]. Числа Бернулли-Эйлера обладают множеством важных арифметических свойств (см. [1], [4] и [5]).

Рассмотрим одно из геометрических употреблений чисел в теории особенностей. Как было показано В. И. Арнольдом [2], компоненты множества вполне правильных

\*Работа выполнена при поддержке грантов РФФИ НШ-709.2008.1, РФФИ 05-01-02805-CNRSLL\_a и FWF грант No. S09209.

<sup>†</sup>TU Graz /Kopernikusgasse 24, A 8010 Graz, Austria/

М-морсификаций краевых особенностей серии  $B_n$  тесно связаны с комбинаторикой соответствующих конусов Спрингера. Он также доказал, что количества компонент этих особенностей равны числам Бернулли-Эйлера  $K_n$ , см. [1].

В этой работе приведены доказательства теорем, анонсированных автором в [3]. Речь пойдёт об обобщениях краевых особенностей  $B_n$  функций на прямой для случая, когда край состоит из конечного числа точек, а также для случаев больших размерностей. Количества компонент множества вполне правильных М-морсификаций особенности  $B_n^l$  также являются некоторым обобщением чисел Бернулли-Эйлера. В частности, мы доказываем рекуррентное соотношение на числа  $K_n$ :

$$K_{n-2}^{l+1} = K_n^l - nlK_n^{l-1}.$$

Кроме того, новые числа перечисляют компоненты связности одной серии стратов каустик особенностей  $A_{2l+n-1}$ , см. следствие 3.4.

Мы приведём доказательство рекуррентного соотношения (анонсированного в статье [3]) между количеством связных компонент множества вполне правильных М-морсификаций для различных значений  $n$  и  $l$ .

Эта работа организована следующим образом. Во втором разделе вводятся необходимые определения и понятия, в том числе, определение особенностей серии  $B_k^l$ . В третьем разделе формулируется и доказывается основная теорема о рекуррентных соотношениях на числа  $K_n^l$ . В конце третьего раздела приводится связь чисел  $K_n^l$  с количеством некоторых стратов особенностей  $A_{2l+n-1}$ . Для случая малого количества краевых точек числа  $K_n^l$  явно считаются через числа Бернулли-Эйлера. Случай малого количества краевых точек разобран в четвёртом разделе. Рекуррентные соотношения позволяют выписать (к сожалению, с трудно вычислимыми коэффициентами) некоторые выражения для чисел  $K_n^l$  через числа Бернулли-Эйлера, см. пятый раздел.

Автор выражает благодарность В. И. Арнольду, В. М. Закалюкину, С. К. Ландо и Б. З. Шапиро за оказанную помощь при выполнении этой работы, а также Технический Университет Граца (Technische Universität Graz) за гостеприимство и отличные рабочие условия.

## 2 Определение особенностей серии $B_n^l$

Приведём определение вполне правильной М-морсификации краевой особенности  $B_\mu$  из статьи [2]. Рассмотрим пространство  $\mathbb{R}^{\mu-1}$  вещественных многочленов

$$x^\mu + \lambda_1 x^{\mu-1} + \dots + \lambda_{\mu-1} x$$

на вещественной прямой с фиксированным “краем”  $x = 0$ .

**Определение 2.1.** Вполне правильная  $M$ -морсификация краевой особенности  $B_\mu$  — это многочлен этого семейства, все  $\mu - 1$  критических значений которого на вещественной прямой различны и не совпадают с его значением на крае.

Следующее определение является обобщением определения 2.1 на мультикраевые особенности типа  $B_n^l$ , то есть на особенности у которых вместо одной краевой точки в нуле —  $l$  штук.

Рассмотрим произведение пространства  $\mathbb{R}^{n-1}$  действительных многочленов

$$x^n + \lambda_1 x^{n-1} + \lambda_2 x^{n-2} + \cdots + \lambda_{n-1} x$$

и пространства  $\mathbb{R}^{k-1}$  “краевых точек”  $x = b_i$ , где  $\sum_{i=1}^k b_i = 0$ .

**Определение 2.2.** Вполне правильная  $M$ -морсификация мультикраевой особенности  $B_n^l$  — это многочлен, все критические точки которого вещественны и различны, причём значения во всех критических точках, а также и значения во всех краевых точках  $x = b_i$  различны.

Заметим, что краевые точки у нас пронумерованы, иначе нужно было бы рассматривать фактор пространства  $\mathbb{R}^{l-1}$  по группе перестановок координат. Краевые точки должны быть пронумерованы, так как они соответствуют разным прообразам, которые не переставляются.

**Определение 2.3.**  $M$ -областью называется замкнутое подмножество пространства многочленов вида  $x^n + \lambda_1 x^{n-1} + \lambda_2 x^{n-2} + \cdots + \lambda_{n-1} x$ , состоящее из многочленов, все критические точки которых вещественны.

Множество вполне правильных  $M$ -морсификаций является открытым множеством в  $\mathbb{R}^{n-1} \times \mathbb{R}^{l-1}$ , а его замыкание имеет вид  $(M\text{-область}) \times \mathbb{R}^{l-1}$ . Оно разбивается на связные компоненты бифуркационной диаграммой, состоящей из пяти гиперповерхностей. Три гиперповерхности встречаются уже в случае краевых особенностей типа  $B_n$  (см. также [2]):

- (a) краевая каустика, состоящая из функций с критической точкой на крае;
- (b) обыкновенный страт Максвелла, состоящий из функций с равными критическими значениями в различных точках;
- (c) краевой страт Максвелла, состоящий из функций, хотя бы одно из краевых значений которых является критическим (и соответствующая критическая точка не лежит на крае).

Заметим, что в наших обозначениях  $B_n = B_n^1$ , при этом краевая точка не закреплена. Таким образом, определение вполне правильной М-морсификации краевой особенности  $B_n$  из статьи [2] является частным случаем определения 2.2.

В случае краевых особенностей иммерсий  $B_n^l$ , где  $l \geq 2$ , добавляются ещё две гиперповерхности:

- (д) двойная краевая каустика, состоящая из функций с совпадающими краевыми точками;
- (е) двойной краевой страт Максвелла, состоящий из функций с одинаковыми значениями в некоторых различных краевых точках.

### 3 Вычисление рекуррентного соотношения

Обозначим через  $K_n$  числа Бернулли-Эйлера (вот начало последовательности, первый член соответствует  $n = 0$ :  $1, 1, 1, 2, 5, 13, 61, \dots$ ), а через  $K_n^l$  — количество связных компонент множества вполне правильных М-морсификаций особенности  $B_n^l$ . Числа Бернулли-Эйлера являются граничным условием для чисел  $K_n^l$ , а именно  $K_n^0 = K_{n-1}$  и  $K_n^1 = K_{n+1}$  (см. [1]).

**Теорема 3.1.** *Имеет место равенство*

$$K_{n-2}^{l+1} = K_n^l - nlK_n^{l-1}.$$

Для особенности  $B_2^3$  мы получаем следующее:

$$K_3^2 = K_5^1 - 5K_5^0 = K_6 - 5K_4 = 61 - 5 \cdot 5 = 36.$$

Можно выписать другое соотношение:

$$K_3^2 = K_1^3 + 2 \cdot 3K_1^3 = 3! + 6 \cdot 5 = 36.$$

Доказательство начнём с двух лемм.

Обозначим через  $L_n^l$  число компонент связности краевой каустики в дополнении к объединению стратов и каустик коразмерности 2. Здесь имеется в виду, что у функций есть одна критическая и одновременно краевая точка. Все остальные выделенные точки различны, и значения в них различны.

**Лемма 3.2.** *Верно следующее тождество.*

$$L_n^l = l(n-1)K_n^{l-1}.$$

*Замечание 1.* В доказательствах этой части мы иногда изменяем множество граничных точек, в результате может получиться не М-морсификация. Тем не менее, после вертикального сдвига графика функции, обеспечивающего нулевую сумму всех граничных точек, а затем горизонтального сдвига графика, обеспечивающего обнуление значения в нуле, мы получаем М-морсификацию.

**Доказательство.** Рассмотрим вполне правильную М-морсификацию с  $l - 1$  краевой точкой и  $n - 1$  критической точкой. Заметим, что при действии на краевых точках группы перестановок мы получим  $(l - 1)!$  различных вполне правильных А-морсификаций из разных компонент связности, но с одним и тем же множеством краевых точек. Поставим в одну из  $n - 1$  критических точек новую краевую точку, а затем сделаем нормализацию замечания 1. При действии группы перестановок на краевые точки мы имеем  $l!$  различных М-морсификаций. Следовательно набору симметричных  $(l - 1)!$  старых компонент связности ставится в соответствие набор  $l!(n - 1)$  новых. Отсюда следует утверждение леммы 3.2.

Дальше мы найдём количество компонент связности вполне правильных М-морсификаций, у которых одно из краевых значений превосходит все критические или наоборот все критические значения больше некоторого краевого. Компоненты, все критические значения М-морсификаций которых содержатся внутри некоторого отрезка с концами в краевых значениях, считаются дважды. Пусть  $\hat{K}_n^l$  — число таких компонент.

**Лемма 3.3.** *Выполняется следующее тождество*

$$\hat{K}_n^l = 2lK_n^{l-1}$$

**Доказательство.** Пусть  $n$  — чётно. Тогда каждая морсификация имеет две неограниченные ветви, уходящие на плюс бесконечность. Рассмотрим максимальное краевое значение. Если оно больше всех критических, то оно принимается в точке, принадлежащей одной из двух ветвей, описанных выше. Следовательно для каждой вполне правильной М-морсификации с  $l - 1$  краевой точкой мы имеем  $l$  различных М-морсификаций, где одна из краевых точек  $b_i : 1 \leq i \leq l$  на правой ветви, и значение в ней максимальное среди краевых и критических значений, порядок же остальных точек сохранён. Аналогичное рассуждение справедливо для левого положения точки. Следовательно  $\hat{K}_{2n}^l = 2lK_{2n}^{l-1}$ .

Если  $n$  нечётно, то каждая М-морсификация имеет две ветви, направленные в разные стороны. Проведя аналогичные рассуждения, получаем доказательство леммы 3.3. Напомним, что некоторые компоненты мы считаем дважды.

**Доказательство теоремы.** Рассмотрим компоненту связности множества вполне правильных М-морсификаций с  $l + 1$  краевой точкой и  $n - 3$  критическими. Пусть  $f$  некоторая М-морсификация из этой компоненты. Выберем последнюю краевую точку  $b_{l+1}$  и добавим к ней такую  $\delta$ -образную функцию, сосредоточенную в этой точке, чтобы новая М-морсификация имела критическую точку в  $b_{l+1}$  со старым краевым

значением (и отнормируем, как в замечании 1). Значение во второй соседней критической точке, образованной при прибавлении  $\delta$ -образной функции, является при этом наибольшим среди всех критических и краевых значений. М-морсификация имеет теперь  $l$  краевых и  $n - 1$  критических точек. Таким же образом можно вычесть  $\delta$ -образную функцию. Следовательно каждой компоненте множества вполне правильных М-морсификаций с  $l + 1$  краевой и  $n - 3$  критическими точками мы ставим в соответствие 2 компоненты вполне правильных М-морсификаций с  $l$  краевыми и  $n - 1$  критической точками.

Возьмём произвольную компоненту связности множества М-морсификаций краевой каустики с  $n - 1$  критической точкой и  $l$  краевыми. Одна из краевых точек — критическая, а в остальных выделенных точках значения различны. Рассмотрим критическую точку, являющуюся краевой. Сдвинем краевую точку вправо или влево на малую величину. Если в критической точке локальный максимум, мы добавим  $\delta$ -образную функцию в этой точке (и отнормируем), в противном случае вычтем  $\delta$ -образную функцию. Критическое значение в точке изменится. Оно станет максимальным (минимальным). Для краевой точки возможны два положения в зависимости от того, в какую сторону мы сдвигали краевую точку. Мы получили две вполне правильные М-морсификации с  $n - 1$  критическими точками и  $l$  краевыми. Следовательно каждой компоненте краевой каустики мы поставили в соответствие две компоненты вполне правильных М-морсификаций.

Наконец, рассмотрим компоненту вполне правильных М-морсификаций с  $n - 1$  критической точкой и  $l$  краевой, причём существует критическое значение, превосходящее все краевые значения. Возьмём функцию из этой компоненты. Пусть  $x_i$  точка с максимальным критическим значением. Найдём ближайшую к ней слева и справа специальные точки (критическую или краевую). Выберем из этих точек одну с большим значением. Проделаем операцию, обратную к прибавлению  $\delta$ -образной функции, которая “опустит” максимальное критическое значение до уровня соседней точки с большим значением. В результате возможны два варианта. Во-первых, мы можем получить функцию с двойной критической точкой. Заменим двойную точку на краевую  $b_{l+1}$ . Во втором случае новая функция будет иметь одну критическую краевую точку. Аналогично поступаем в случае минимального критического значения.

Тем самым мы доказали следующую формулу:

$$2K_n^l - \hat{K}_n^l = 2L_n^l + 2K_{n-2}^{l+1}.$$

Применим теперь леммы 3.2 и 3.3:

$$2K_n^l - 2lK_n^{l-1} = 2l(n-1)K_n^{l-1} + 2K_{n-2}^{l+1}.$$

Следовательно

$$K_{n-2}^{l+1} = K_n^l - nlK_n^{l-1}$$

Теорема доказана.

В заключение этой части мы укажем связь чисел  $K_n^l$  с компонентами связности некоторых стратов каустики бифуркационной диаграммы критических точек и значений многочленов степени  $2l + n$  (т. е.  $A_{2l+n-1}$ ).

**Следствие 3.4.** *Рассмотрим все открытые страты каустики, соответствующие многочленам из  $M$ -области,  $l$  пар критических точек которых, совпали некоторым образом общего положения. Количество компонент связности таких стратов равно  $K_n^l/l!$ .*

## 4 Следствия теоремы 3.1. Случай малого количества краевых точек

Подсчитаем числа  $K_n^l$  для  $l \leq 5$ . В [1] В. И. Арнольдом доказано, что количество компонент связности вполне правильных  $M$ -морсификаций без границ равно числу Бернулли-Эйлера, то есть  $K(A_{n-1}) = K_{n-1}$ . Там же найдено  $K(B_n)$  для мультикраевых особенностей  $B_n$ :  $K(B_n) = K_{n+1}$ . Итак:  $K_n^0 = K_{n-1}$  и  $K_n^1 = K_{n+1}$ . Простым вычислением выводятся следующие равенства.

**Следствие 4.1.** *Верны следующие выражения для чисел  $K_n^l$  через числа Бернулли-Эйлера.*

$$\begin{aligned} K_n^2 &= K_{n+3} - (n+2)K_{n+1}; \\ K_n^3 &= K_{n+5} - (3n+8)K_{n+3}; \\ K_n^4 &= K_{n+7} - (6n+20)K_{n+5} + 3(n+2)(n+4)K_{n+3}; \\ K_n^5 &= K_{n+9} - (10n+40)K_{n+7} + (15n^2 + 110n + 184)K_{n+5} \\ &\dots \end{aligned}$$

Экспоненциальной производящей функцией для чисел Бернулли-Эйлера является функция

$$K(t) = \tan(t) + \sec(t).$$

Найдём экспоненциальные производящие функции чисел  $B_n^l$  при  $l \leq 4$ . Заметим, что в случае  $l = 0$  и  $l = 1$  производящей функцией можно считать  $K(t)$ , однако в наших обозначениях это будут

$$\begin{aligned} K_0(t) &= \int K(t)dt = -\ln(\cos t) + \ln(\tan(\frac{t}{2} + \frac{\pi}{4})) + C \quad \text{и} \\ K_1(t) &= K'(t) = \frac{1+K^2}{2} = \frac{1+\sin t}{\cos^2 t} = \frac{1}{1-\sin t} \end{aligned}$$

соответственно.

**Следствие 4.2.** Экспоненциальными производящими функциями для  $l = 2, 3, 4$  являются соответственно

$$\begin{aligned} K_2(t) &= K'''(t) - (tK(t))'' = \frac{3\sin t - t\cos t}{(1-\sin t)^2}; \\ K_3(t) &= (K'' - 3tK' + K)''' = \frac{3}{(1-\sin t)^3} \left( \sin t(3\sin t + 7) - 3t\cos t(5 + \sin t) \right); \\ K_4(t) &= (K''' - 6tK'' + (3t^2 + 4)K' - 3tK)^{(4)} = \\ &\quad \left( \frac{3t^2}{1-\sin t} - \frac{3t\cos t}{(1-\sin t)^2}(3 - \sin t) + \frac{3(2-\sin t)}{(1-\sin t)^2} \right)^{(4)}. \end{aligned}$$

Пусть

$$K(x, y) = \sum \frac{K_n^l}{l!n!} x^l y^n$$

— экспоненциальная производящая функция двух переменных.

**Следствие 4.3.** Функция  $K(x, y)$  удовлетворяет дифференциальному уравнению

$$K_x = (1 - 2x)K_{yy} - xyK_{yyy}.$$

Б. З. Шапиро предложил рассматривать экспоненциальные производящие функции двух переменных  $R(x, y)$  и  $S(x, y)$  отдельно для  $R_n^l = K_{2n}^l$  и для  $S_n^l = K_{2n-1}^l$ . При этом порядок уравнения понижается.

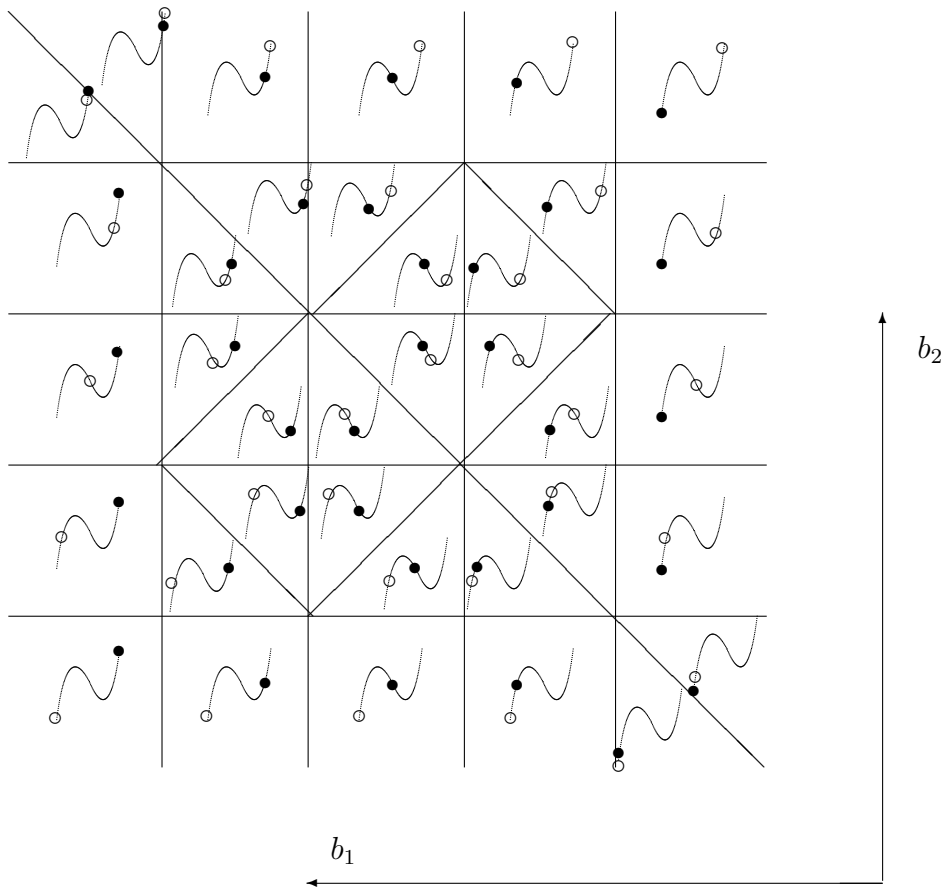
**Следствие 4.4.** Функции  $R(x, y)$  и  $S(x, y)$  удовлетворяют дифференциальному уравнению

$$\begin{aligned} R_x &= (1 - 2x)R_y - 2xyR_{yy} \\ S_x &= (1 - 2x)S_y - x(2y - 1)S_{yy}. \end{aligned}$$

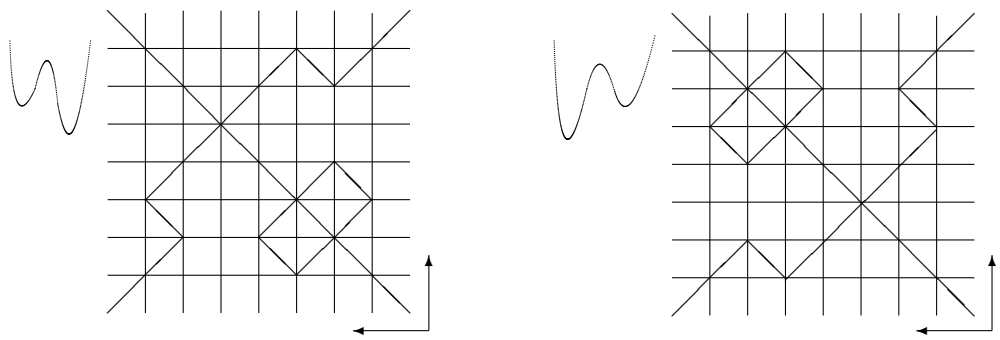
В завершение этой части опишем геометрическую структуру  $B_n^2$  при помощи “картинок” в слоях векторного расслоения

$$\pi : (M\text{-область}) \times \mathbb{R}^2 \rightarrow M\text{-область}.$$

Каждому многочлену  $f(x)$  соответствует кососимметрический многочлен от двух переменных вида  $f(b_1) = f(b_2)$ . Этот многочлен задаёт двойной краевой страт Максвелла и краевую каустику в слое. Границная каустика и краевой страт Максвелла в слое задаются вертикальными и горизонтальными прямыми, образующими прямоугольную сетку, в которую “вписана” кривая  $f(b_1) = f(b_2)$ . Эти кривые довольно легко рисовать. Для примера приведём все схематические рисунки для особенностей  $B_3^2$  и  $B_4^2$  (см. рис. 1 и 2). Заметим, что кривая  $f(b_1) = f(b_2)$  представляет собой объединение прямой  $b_1 = b_2$  с некоторой кривой степени  $n - 1$ . В частности в случае  $B_3^2$  получается объединение прямой и эллипса (см. рис. 1). В связи с этим возникает естественная проблема описания всех комбинаторных типов таких рисунков для произвольного  $n$ .



**Рисунок 1.** Слой общего положения М-области особенности  $B_3^2$ .



**Рисунок 2.** Слой общего положения М-области особенности  $B_4^2$ .

## 5 Следствия теоремы 3.1. Связь с числами Бернулли-Эйлера

В этой части мы выведем некоторое выражение для числа  $K_n^l$ , аналогичное соотношению следствия 4.1. Затем определим  $K_n^l$  для отрицательных  $n$ , по модулю не меньших чем  $l$ . Через эти числа мы выпишем вытекающие соотношения на числа Бернулли-Эйлера.

**Следствие 5.1.** *Выражение для  $K_n^l$  будет следующим:*

$$\begin{aligned} K_n^l &= K_{n+2l-1} - \\ &\left( \frac{l(l-1)}{2} n + \frac{(l+1)l(l-1)}{3} \right) K_{n+2l-3} + \\ &l(l-1)(l-2)(l-3) \left( \frac{1}{8} n^2 + \frac{2l+1}{12} n + \frac{(l+1)(5l-2)}{90} \right) K_{n+2l-5} + \\ &\sum_{k=4}^{\lfloor \frac{l}{2} \rfloor + 1} \left( \left( \frac{(-1)^{k-1}}{2^{k-1}(k-1)!} \frac{l!}{(l-2k+2)!} \sum_{d=0}^{k-1} (p_{k,d}(l)n^d) \right) K_{n+2(l-k)+1} \right), \end{aligned}$$

где  $p_{k,d}(x)$  — многочлен степени  $k-d-1$  с постоянными коэффициентами, зависящими только от  $k$  и  $d$ .

Доказательство проводится индукцией по  $l$ .

Явные формулы для коэффициентов многочленов  $p_{k,d}(x)$  не известны на данный момент, тем не менее существует рекуррентный способ их вычисления. Приведем формулы многочленов при  $d = k-1$ ,  $d = k-2$  и  $d = k-3$ .

**Следствие 5.2.** *Верны следующие тождества*

$$\begin{aligned} p_{k,k-1}(x) &= 1; \\ p_{k,k-2}(x) &= \frac{(k-1)}{3} (2x + 4 - k); \\ p_{k,k-3}(x) &= \frac{(k-1)(k-2)}{90} \left( 20x^2 + (72 - 20k)x + (5k^2 - 39k + 64) \right). \end{aligned}$$

С помощью формулы следствия 5.1 можно получить соотношения на числа Бернулли-Эйлера. Рассмотрим примеры некоторых из них. Подставив  $n = 1$  и  $n = 2$  в формулу следствия 5.1, мы получим тождества приведённой ниже теоремы.

**Теорема 5.3.** *Выполняются следующие соотношения на числа Бернулли-Эйлера:*

$$\begin{aligned} K_{2l} - l! &= K_{2l} - K_1^l = \sum_{k=2}^{\lfloor \frac{l}{2} \rfloor + 1} \left( \frac{(-1)^k}{2^{k-1}(k-1)!} \frac{l!}{(l-2k+2)!} \sum_{d=0}^{k-1} (p_{k,d}(l)) \right) K_{2(l-k+1)}; \\ K_{2l+1} - 2^l l! &= K_{2l+1} - K_2^l = \sum_{k=2}^{\lfloor \frac{l}{2} \rfloor + 1} \left( \frac{(-1)^k}{2^{k-1}(k-1)!} \frac{l!}{(l-2k+2)!} \sum_{d=0}^{k-1} (p_{k,d}(l) 2^d) \right) K_{2(l-k+1)+1}. \end{aligned}$$

Воспользуемся результатом следствия 4.1 для получения чисел  $K_n^l$  при  $n \leq 0$ .

$K_n^l$	l=1	l=2	l=3	l=4	l=5
n=0	1	0	0	0	0
n=-1	1	0	0	0	0
n=-2	?	1	0	0	0
n=-3	?	?	2	0	0
n=-4	?	?	?	6	0
n=-5	?	?	?	?	24

Можно считать,  $K_0^l$  — это количество компонент связности пространства многочленов степени 0 с  $l$  краевыми точками, в которых многочлен принимает разные значения. В этом случае все точки прямой критические, и соответственно критическое значение совпадает с краевыми. Что обозначают числа для отрицательных  $n$ , автору не известно.

Заметим, что с некоторого момента в каждой строке стоят нули. Сформулируем это утверждение в следующей лемме.

**Предложение 5.4.** *Пусть  $n \leq -1$ , тогда  $K_n^l = 0$  для  $l > -n$ , а  $K_n^{-n} = (-n - 1)!$ .  $K_0^l = 0$  при  $l > 1$ .*

**Доказательство.** Доказательство основано на теореме 3.1. Проведём индукцию по  $n$ .

$$K_0^l = K_2^{l-1} - 2(l-1)K_2^{l-2} = (2l-2)!! - (2l-2)(2l-4)!! = 0 \text{ при } l-2 \geq 0.$$

$$K_{-1}^l = K_1^{l-1} - (l-1)K_2^{l-2} = (l-1)! - (l-1)(l-2)! = 0 \text{ при } l-2 \geq 0.$$

$$K_{-2}^l = K_0^{l-1} = 0 \text{ при } l-1 \geq 2.$$

В общем случае  $K_n^l = K_{n+2}^{l-1} - (n+2)(l-1)K_{n+2}^{l-2}$ , если  $n < -2, l-2 \geq -2-n$ .

$$K_n^{-n} = K_{n+2}^{-n-1} - (n+2)(-n-1)K_{n+2}^{-n-2} = 0 + (n+2)(n+1)(-n-3)! = (-n-1)!.$$

Предложение доказано.

В заключение работы мы выпишем соотношения на числа Бернулли-Эйлера вытекающие из следствия 5.1 и предложения 5.4.

**Следствие 5.5.** *Пусть  $n \leq 0, l > \max(1, -n)$ , тогда*

$$0 = K_n^l = K_{n+2l-1} + \sum_{k=2}^{\lfloor \frac{l}{2} \rfloor + 1} \left( \left( \frac{(-1)^{k-1}}{2^{k-1}(k-1)!} \frac{l!}{(l-2k+2)!} \sum_{d=0}^{k-1} (p_{k,d}(l)n^d) \right) K_{n+2(l-k)+1} \right).$$

Если  $l = -n$ , то

$$(l-1)! = K_n^{-n} = K_{l-1} + \sum_{k=2}^{\lfloor \frac{l}{2} \rfloor + 1} \left( \left( \frac{(-1)^{k-1}}{2^{k-1}(k-1)!} \frac{l!}{(l-2k+2)!} \sum_{d=0}^{k-1} (p_{k,d}(l)(-l)^d) \right) K_{l-2k+1} \right).$$

В частности, при  $l > 1$ :

$$0 = K_0^l = K_{n+2l-1} + \sum_{k=2}^{\lfloor \frac{l}{2} \rfloor + 1} \left( \left( \frac{(-1)^{k-1}}{2^{k-1}(k-1)!} \frac{l!}{(l-2k+2)!} p_{k,0}(l) \right) K_{2(l-k)+1} \right).$$

## Список литературы

- [1] V. I. Arnold, *Bernoulli-Euler updown numbers associated with function singularities, their combinatorics and arithmetics*, Duke Math. J., 63(2) (1991), 537–555.
- [2] V. I. Arnold, *Springer numbers and morsification spaces*, J. Algebraic Geom., 1(2) (1992), 197–214.
- [3] О. Карпенков, *Комбинаторика мультикраеевых особенностей серии  $B_n^l$  и числа Бернуlli-Эйлера*, Функц. Анализ. Прил. 36(1) (2002), 78–81.
- [4] D. E. Knuth, T. E. Tabachnikov, *Computation of tangent numbers, Euler, and Bernoulli numbers*, Math. Comp. 21(1967), 663–688.
- [5] N. Nielsen, *Traité élémentaire des nombres de Bernoulli*, Gauthier-Villars, Paris, 1923.